

专业：电子科学与技术
姓名：
学号：
日期：

浙江大学实验报告

课程名称： 数字信号处理 指导老师： 成绩：

实验名称： DFT/FFT 的应用之一 — 确定性信号谱分析 实验类型： 验证 同组学生姓名：

一、实验目的和要求

谱分析即求信号的频谱。本实验采用 DFT/FFT 技术对周期性信号进行谱分析。通过实验，了解用 $X(k)$ 近似地表示频谱 $X(e^{j\omega})$ 带来的栅栏效应、混叠现象和频谱泄漏，了解如何正确地选择参数（抽样间隔 T 、抽样点数 N ）。

二、实验内容和步骤

2-1 考虑下列序列 $x(n) = \cos(0.24\pi n) + \cos(0.36\pi n)$

求出它基于有限个样本的频谱。

- a) 当 $0 \leq n \leq 9$ 时，分别确定并画出 $x(n)$ 的基于 $N=10$ 点 DFT 和 $N=100$ 点的 DFT。
b) 当 $0 \leq n \leq 99$ 时，确定并画出 $x(n)$ 的基于 $N=100$ 点的 DFT。

比较（a）、（b）基于 $N=100$ 的 DFT 的异同，说明补零（高密度频谱）和采集更多数据（高分辨率频谱）之间的区别。

2-2 谱分析参数可以从下表中任选一组（也可自定）。对各组参数时的序列，计算：一个正弦周期是否对应整数个抽样间隔？观察区间是否对应整数个正弦周期？

信号频率 f (赫兹)	谱分析参数	抽样间隔 T (秒)	截断长度 N (抽样个数)
50	第一组参数	0.000625	32
50	第二组参数	0.005	32
50	第三组参数	0.0046875	32
50	第四组参数	0.004	32
50	第五组参数	0.0025	16

2-3 对以上几个正弦序列，依次进行以下过程。

2-3-1 观察并记录一个正弦序列的图形（时域）、频谱（幅度谱、频谱实部、频谱虚部）形状、幅度谱的第一个峰的坐标（ U, V ）。

2-3-2 分析抽样间隔 T 、截断长度 N (抽样个数) 对谱分析结果的影响;

2-3-3 思考 $X(k)$ 与 $X(e^{j\omega})$ 的关系;

2-3-4 讨论用 $X(k)$ 近似表示 $X(e^{j\omega})$ 时的栅栏效应、混叠现象、频谱泄漏。

2-4 (选做)

阅读课外教材或通过查资料, 编写一个用 FFT 计算 STFT (短时傅里叶变换) 的程序, 通过一个例子展示实验结果, 并对比 FFT 和 STFT 对系统分析方面各自的特点。

三、主要仪器设备

MATLAB 编程。

四、操作方法和实验步骤

(参见“二、实验内容和步骤”)

五、实验数据记录和处理

MATLAB 代码如下:

```
clc;clear;
% x(n)=cos(0.24πn)+cos(0.36πn)
N = 10;
n = 1:1:N;
x = [cos(0.24*pi.*n) + cos(0.36*pi.*n),zeros(1,100-N)];
X = fft(x,N);      %10 点 DFT
figure(1)
subplot(3,1,1);stem(1:1:N,x(1:N),'.');title('N=10,x[n]');
subplot(3,1,2);stem(-pi:2*pi/length(X):pi-2*pi/length(X),abs(X),'.');xlim([-pi
pi]);title('10 点 DFT, |X(k)|');
subplot(3,1,3);stem(-pi:2*pi/length(X):pi-2*pi/length(X),angle(X),'.');xlim([-pi
pi]);title('10 点 DFT, angle(X(k))');
X = fft(x);      %100 点 DFT
figure(2)
subplot(3,1,1);stem(1:1:N,x(1:N),'.');title('N=10,x[n]');
subplot(3,1,2);stem(-pi:2*pi/length(X):pi-2*pi/length(X),abs(X),'.');xlim([-pi
pi]);title('100 点 DFT, |X(k)|');
subplot(3,1,3);stem(-pi:2*pi/length(X):pi-2*pi/length(X),angle(X),'.');xlim([-pi
pi]);title('100 点 DFT, angle(X(k))');

N = 100;
n = 1:1:N;
x = [cos(0.24*pi.*n) + cos(0.36*pi.*n),zeros(1,100-N)];
X = fft(x,N);      %100 点 DFT
figure(3)
```

```
subplot(3,1,1);stem(1:1:N,x(1:N),'.');title('N=100,x[n]');
subplot(3,1,2);stem(-pi:2*pi/N:pi-2*pi/N,abs(X),'.');xlim([-pi pi]);title('100 点 DFT,|X(k)|');
subplot(3,1,3);stem(-pi:2*pi/N:pi-2*pi/N,angle(X),'.');xlim([-pi pi]);title('100 点 DFT,angle(X(k))');

T = 0.000625;N = 32; %第一组谱分析参数
%T = 0.005;N = 32; %第二组谱分析参数
%T = 0.0046875;N = 32;%第三组谱分析参数
%T = 0.004;N = 32; %第四组谱分析参数
%T = 0.0025;N = 16; %第五组谱分析参数
t = 0:0.001:N*T; xt = sin(2*pi*50*t); %原始信号
n = 0:N-1; xn = sin(2*pi*50*n*T); %抽样结果
X = fft(xn,N);

figure(4); % 时域图像
subplot(2,1,1); plot(t,xt); xlim([0 N*T]);
xlabel('t'); ylabel('x(t)'); title('原信号');
subplot(2,1,2); stem(n,xn, '.');xlim([0 N]);
xlabel('n'); ylabel('x(n)'); title('抽样结果');

figure(5); % 序列频谱
subplot(4,1,1); stem(n,abs(X),'.'); xlim([0 N]);
xlabel('k'); ylabel('|X|'); title('幅度谱');
max_value = max(abs(X)); % 最大值
max_index = find(abs(X)==max_value); % 寻找最大值的索引
index = max_index(1); % 取第一个最大值的索引
format = sprintf('%d, %.2f',(index-1),max_value);
text((index-1),max_value,format);
subplot(4,1,2); stem(n,real(X),'.'); xlim([0 N]);
xlabel('k'); ylabel('Re\{X\}'); title('频谱实部');
subplot(4,1,3); stem(n,imag(X),'.'); xlim([0 N]);
xlabel('k'); ylabel('Im\{X\}'); title('频谱虚部');
subplot(4,1,4); stem(n,angle(X),'.'); xlim([0 N]);
xlabel('k'); ylabel('angle(X)'); title('频谱相位');
```

六、实验结果与分析

6-1 实验前预习有关概念,并根据上列参数来推测相应频谱的形状、谱峰所在频率(U)和谱峰的数值(V)、混叠现象和频谱泄漏的有无。

原始信号和抽样信号分别为:

$$x(t) = \sin(2\pi ft), x[n] = \sin[2\pi fnT]$$

$x[n]$ 的 DTFT 为：

$$X(e^{j\omega}) = j\pi[\delta(\omega + 2\pi fT) - \delta(\omega - 2\pi fT)]$$

可见 DTFT 序列的实部恒为 0，虚部在 $\omega = \pm 2\pi fT$ 处存在冲激信号。 $x[n]$ 的 DFT 为：

$$X(k) = X(e^{j\omega})|_{\omega=\frac{2\pi k}{N}} = \frac{jN}{2}[\delta(k + fTN) - \delta(k - fTN)]$$

可见 DFT 序列的实部恒为 0。当 fTN 为整数时，虚部在 $k = fTN$ 和 $k = N - fTN$ 处分别存在冲激信号，幅值为 $N/2$ 。当 fTN 不为整数时， fTN 对应的谱峰在频谱图上不可见，频谱上在最接近 fTN 和 $N - fTN$ 的整数 k 上出现峰值，且不一定相等。

根据采样定理，当 $f_s \geq 2f_m$ 时，不会发生频域混叠。由于有限长序列 $x[n]$ 的 N 点 DFT 变换 $X(k)$ 可以看作是 $x[n]$ 的周期延拓序列 $x([n])_N$ 的 DFS 序列的主值，若观察区间为正弦周期的整数倍，则不会发生混叠和泄漏；若观察区间不为正弦周期的整数倍，即对时域进行非周期截断，此时周期延拓序列不是标准的正弦序列，时域上存在跳变的高频分量，不满足采样定理，频域上出现混叠和泄漏。

根据上述分析，在各组谱分析参数条件下，频谱的特征如表 1 所示。

表 1 频谱特征推测

参数	$f_s(\text{Hz})$	fTN	峰值数	谱峰频率(U)	谱峰值(V)	有无混叠	有无频谱泄漏
第一组	1600	1	2	$k = 1, 31$	16、-16	无	无
第二组	200	8	2	$k = 8, 24$	16、-16	无	无
第三组	213.3	7.5	4	$k_1 = 7, 25$ $k_2 = 8, 24$	10.25	有	有
第四组	250	6.4	4	$k_1 = 6, 26$ $k_2 = 7, 25$	11.97	有	有
第五组	400	2	2	$k = 2, 30$	8	无	无

6-2 观察实验结果（数据及图形）的特征，做必要的记录。并用基本理论、基本概念来解释各种现象。

6-2-1 $x[n] = \cos(0.24\pi n) + \cos(0.36\pi n)$ 的有限样本频谱

当 $0 \leq n \leq 9$ 时， $x[n]$ 基于 $N=10$ 点 DFT 和 $N=100$ 点的 DFT 分别如图 1、图 2 所示

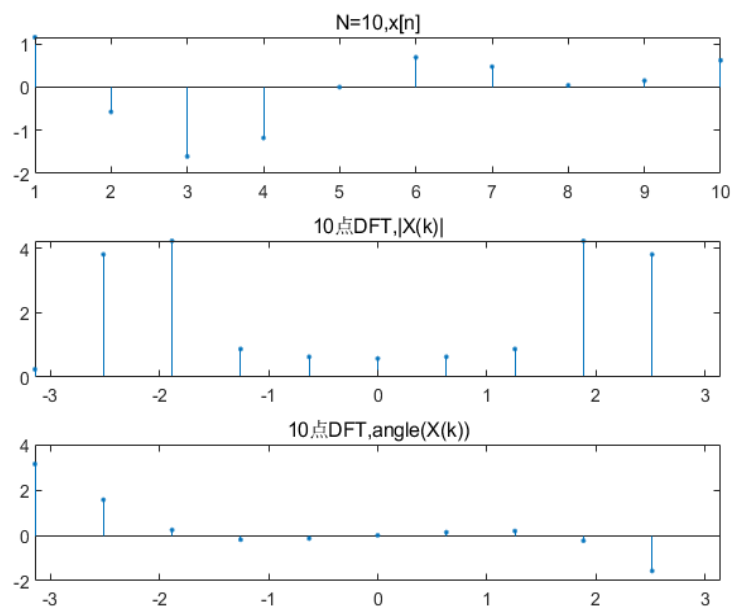


图 2 N=10, 10 点 DFT

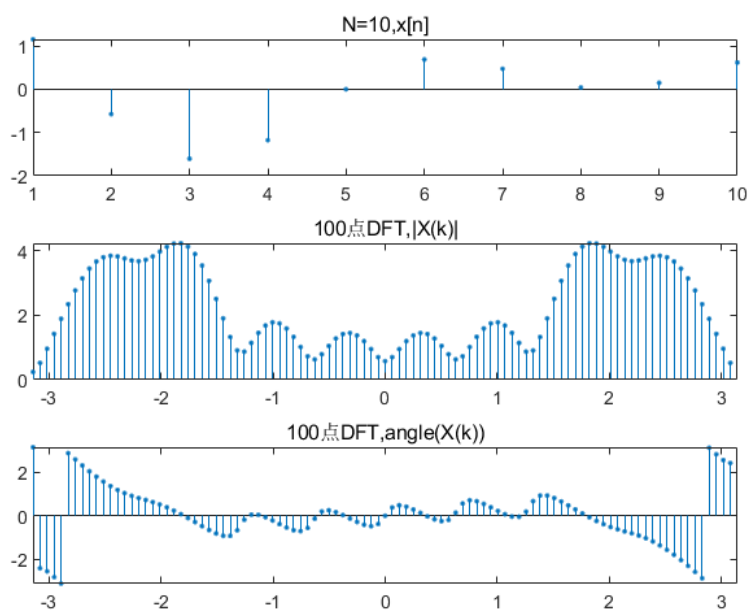


图 1 N=10, 100 点 DFT

当 $0 \leq n \leq 99$ 时, $x[n]$ 基于 $N=100$ 点的 DFT 如图 3 所示

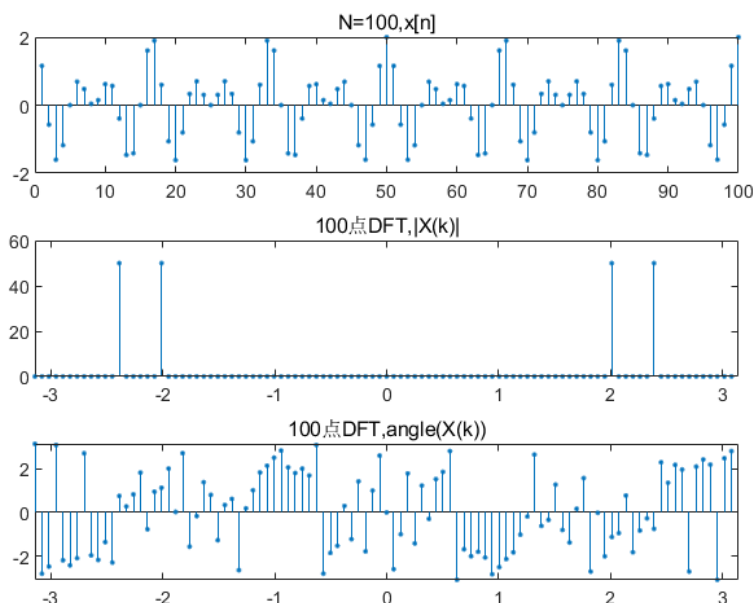


图 3 N=100, 100 点 DFT

补零（高密度频谱）和采集更多数据（高分辨率频谱）之间的区别：通过补零的方式来增加 N ，将得到 DTFT 频谱上的更多采样点，即频域采样率增加。补零后再进行 DFT 可以得到高密度谱，但不能得到高分辨率谱，因为补零并没有任何新的信息附加到这个信号上。要想得到高分辨率谱，需要通过提高采样点数 N 获得更多的数据。分析对比图 2 和图 3 可以看到， $N=100$ 时的 DFT 频谱上可以清晰看到对应 $\omega = \pm 0.24\pi$ 和 $\omega = \pm 0.36\pi$ 的四个尖峰，即频率的分辨率高，但 $N=10$ 时的 DFT 频谱上两个尖峰就不可见，即使进行 100 点 DFT，也只是增加了 $[-\pi, \pi]$ 之间的 DTFT 频谱的插值数，即提高谱密度。

6-2-2-1 对各组参数时的序列，计算：一个正弦周期是否对应整数个抽样间隔？观察区间是否对应整数个正弦周期？

正弦周期 $T_0 = \frac{1}{f} = 0.02s$ ，在采样间隔 T 、采样区间长度 N 条件下，一个正弦周期的抽样间隔数 $m_1 = \frac{T_0}{T}$ ，

区间内对应的正弦周期数 $m_2 = \frac{NT}{T_0}$ ，得到表 2。

表 2

组号	m_1	m_1 是否为整数	m_2	m_2 是否为整数
1	32	是	1	是
2	4	是	8	是
3	4.27	否	7.5	否
4	5	是	6.4	否
5	8	是	2	是

6-2-2-2 观察并记录正弦序列的图形（时域）、频谱（幅度谱、频谱实部、频谱虚部）形状、幅度谱的第一

个峰的坐标 (U, V)，并用基本理论、基本概念来解释各种现象。

(1) 第一组参数

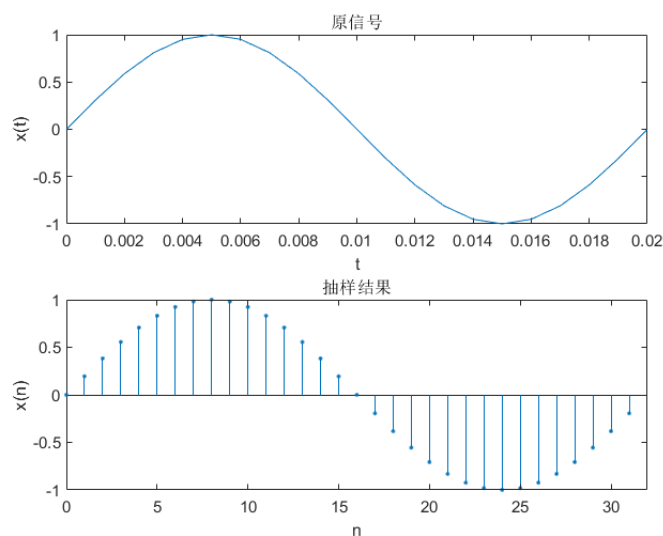


图 5 第一组参数时域图

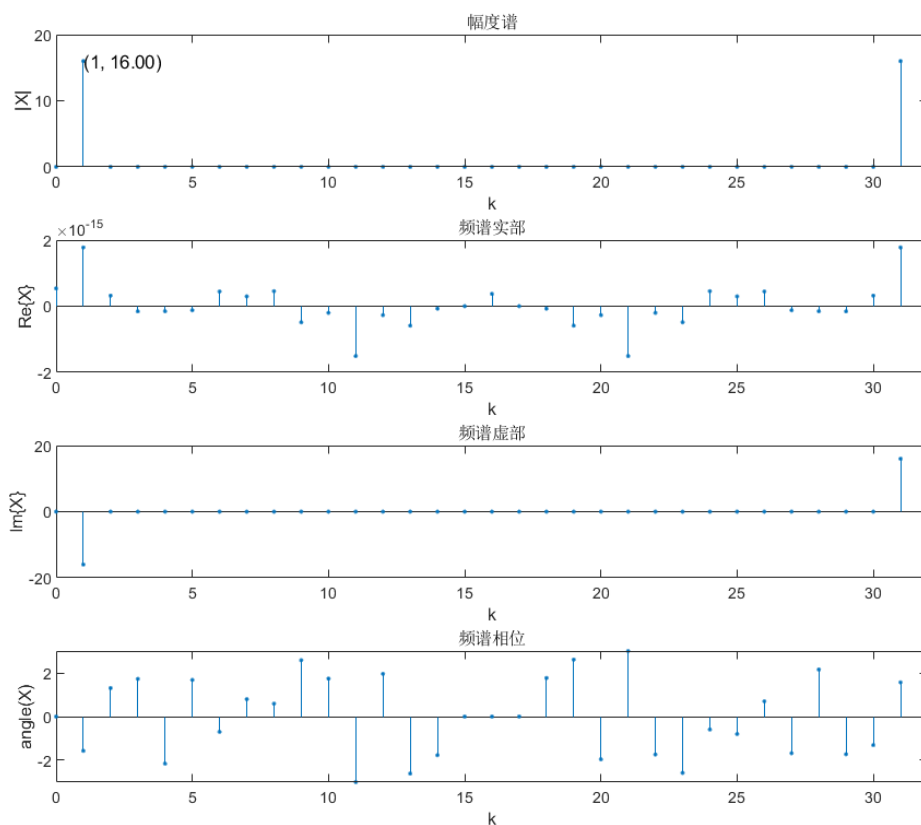


图 4 第一组参数频谱图

分析：第一组参数中，一个正弦周期对应 32 个抽样间隔，观察区间对应 1 个正弦周期，与计算值一致。

DFT 幅度谱在 $k = 1$ 和 $k = 31$ 两处存在峰值 16，第一个峰值的坐标为 (1, 16)。由于时域为实奇序列，其 DFT 频谱为虚奇序列，实部为 0，虚部奇对称，且在 $k = 1$ 、 $k = 31$ 两处存在峰值，分别为 -16 和 +16。由于

观察区间为整数个正弦周期，此时频谱没有明显的混叠和泄漏。

(2) 第二组参数

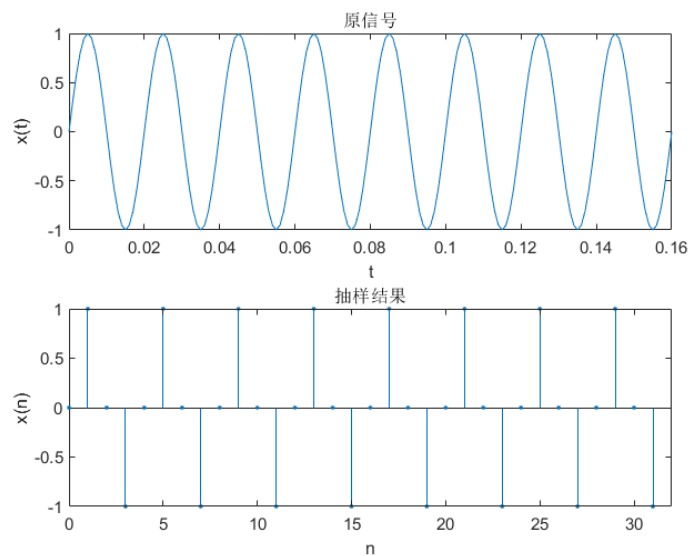


图 7 第二组参数时域图

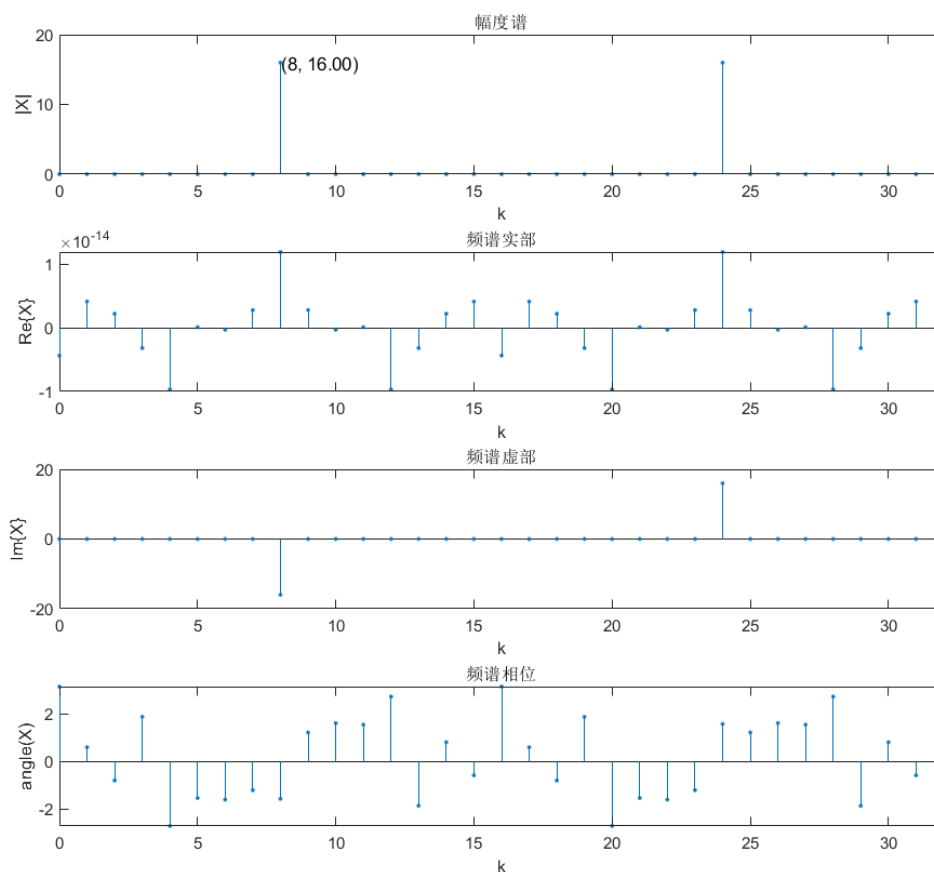


图 6 第二组参数频谱图

分析：第二组参数中，一个正弦周期对应 4 个抽样间隔，观察区间对应 8 个正弦周期，与计算值一致。DFT 幅度谱在 $k = 8$ 和 $k = 24$ 两处存在峰值 16，第一个峰值的坐标为 $(8, 16)$ 。由于时域为实奇序列，其 DFT 频谱为虚奇序列，实部为 0，虚部奇对称，且在 $k = 8$ 、 $k = 24$ 两处存在峰值，分别为 -16 和 +16。由于观察

区间为整数个正弦周期，此时频谱没有明显的混叠和泄漏。

(3) 第三组参数

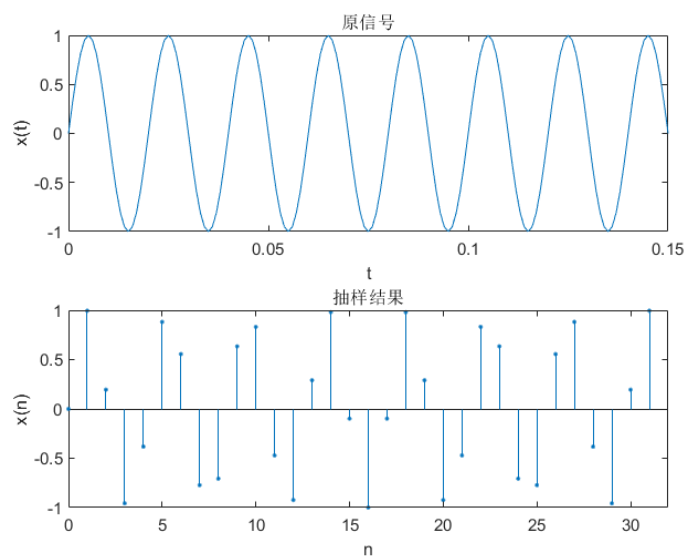


图 9 第三组参数时域图

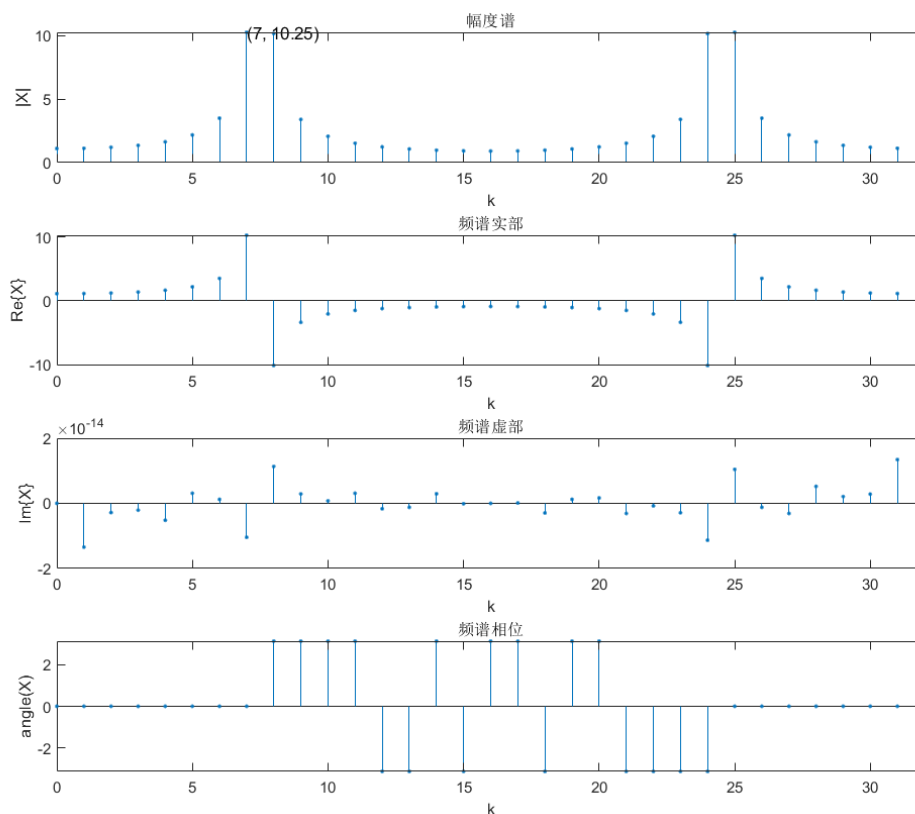


图 8 第三组参数频谱图

分析：第三组参数中，一个正弦周期未对应整数个抽样间隔，观察区间也未对应整数个正弦周期。此时抽样序列为实偶序列，DFT 频谱为实偶序列。幅度谱在 $k = 7, 25$ 和 $k = 8, 24$ 四处存在峰值，第一个峰值坐标为 $(7, 10.25)$ ，与预测相符。可以看到，由于抽样点未能完整表现原始信号整个周期内的特征，存在的

跳变导致高频分量的产生, 此时频谱发生明显的混叠和泄漏, 不同的频率值下都有频率分量, 与原信号频谱差异较大。

(4) 第四组参数

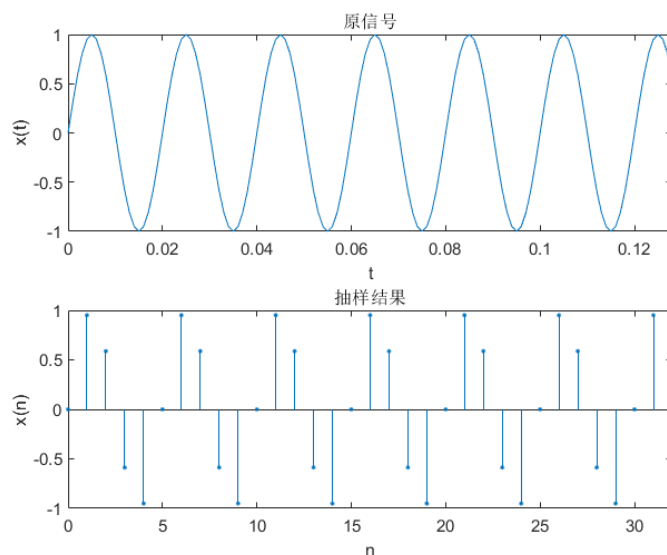


图 11 第四组参数时域图

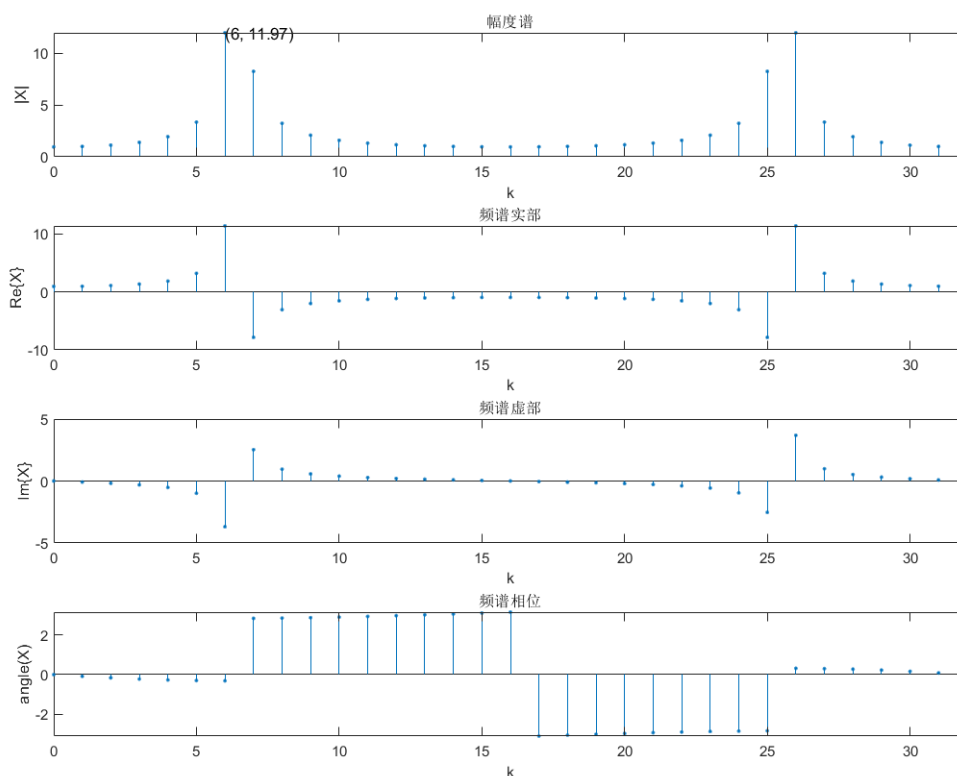


图 10 第四组参数频谱图

分析: 在第四组参数中, 一个正弦周期对应 5 个抽样间隔, 但观察区间未对应整数个正弦周期。幅度谱在 $k = 6$ 、 $k = 26$ 和 $k = 7$ 、 $k = 25$ 四处存在峰值, 符合预期。幅度谱第一个峰值的坐标为 (6, 11.97)。由于时域信号为实序列, 其 DFT 所得频谱虚、实部分别为奇、偶对称, 且在 $k = 6$ 、 $k = 26$ 和 $k = 7$ 、 $k = 25$ 处

也取得峰值, 虚实部符号恰好相反。由于观察区间未对应整数个正弦周期, 跳变依旧存在, 频谱发生了混叠和泄漏, 与原信号频谱差异较大。

(5) 第五组参数

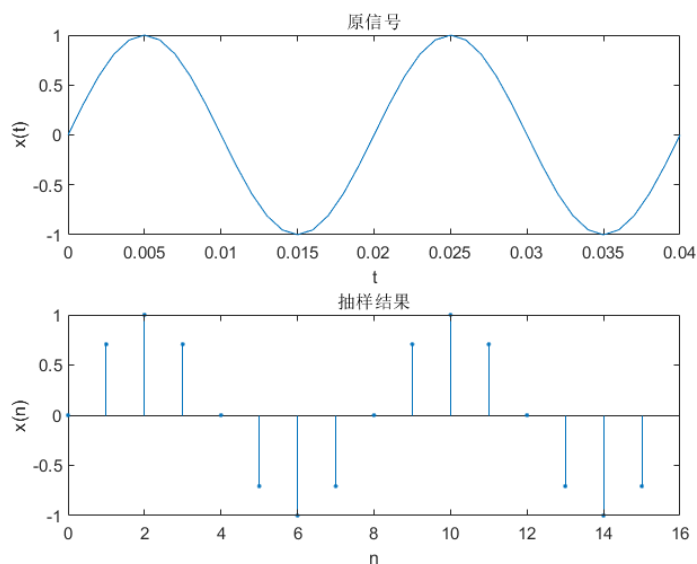


图 13 第五组参数时域图

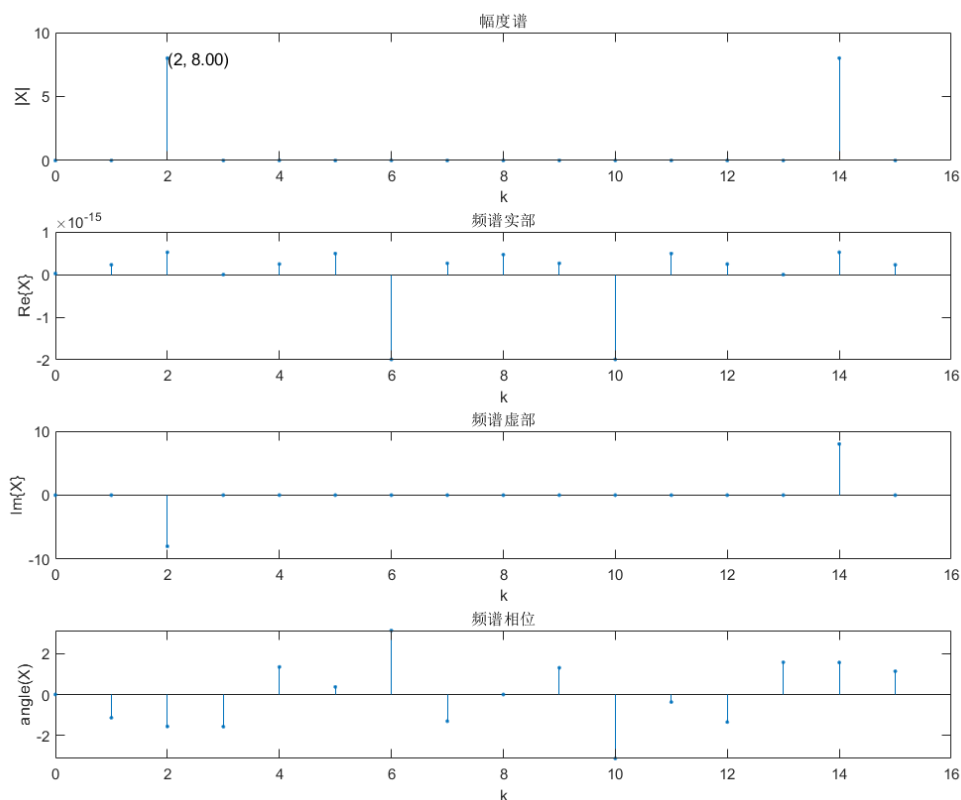


图 12 第五组参数频谱图

分析: 在第五组参数中, 一个正弦周期对应 8 个抽样间隔, 观察区间对应 2 个正弦周期, 与计算值一致。幅度谱在 $k=2$ 及 $k=14$ 两处存在峰值, 峰值均为 8, 其余处的值为 0, 此时幅度谱第一个峰值的坐标为

(2,8)。由于时域为实奇序列, 其 DFT 频谱为虚奇序列, 实部为 0, 虚部为奇对称, 且在 $k = 2$ 及 $k = 14$ 两处存在峰值, 分别为 -8 和 +8, 符合预期结果。由于观察区间为整数个正弦周期, 此时频谱没有明显的混叠和泄漏。

6-2-2-3 分析抽样间隔 T 、截断长度 N (抽样个数) 对谱分析结果的影响。

由奈奎斯特采样定理, 当 $f_s = \frac{1}{T} \geq 2f_m$, 频谱不会发生混叠。根据理论分析和实验结果, 只有当序列的观察区间内含有整数个信号周期, 即 $NT = mT_0$, 其中 T_0 为信号周期, 才能得到正确的 DFT 频谱图; 如果在信号的非整数周期点进行截断, 会产生跳变的高频分量, 导致频谱图出现频谱泄漏和混叠现象。对比第三组和第四组参数实验结果可知, 当非整周期部分占整体信号的比例逐渐减少时, 频谱泄漏也会逐渐减弱, 频率幅值偏差逐渐减小。

当提高抽样点数 N 时, 能够得到高分辨率谱, 有助于抑制栅栏效应, 可以看到信号频域中的更多信息, 但不会改善频谱中频率即幅值的准确性。

6-2-2-4 思考 $X(k)$ 和 $X(e^{j\omega})$ 的关系。

$X(k) = X(e^{j\omega}) \Big|_{\omega = \frac{2\pi k}{N}}$, 即 $X(k)$ 是对 $X(e^{j\omega})$ 在 $[0, 2\pi]$ 之间的均匀采样。当 N 增大时, DFT 在区间内的划分越来越密, 当 $N \rightarrow +\infty$ 时, ω 从离散的值变为整个实数区间, DFT 谱变为 DTFT 谱。当 N 取有限值时, 由于栅栏效应, DFT 的结果仅能反映出有限个离散频率采样点代表的频域特性, 此时可以通过补零的方式得到高密度谱, 或增大 N 值得到高分辨率谱。

6-2-2-5 讨论用 $X(k)$ 近似表示 $X(e^{j\omega})$ 时的栅栏效应、混叠现象、频谱泄漏。

当用 $X(k)$ 近似表示 $X(e^{j\omega})$ 时, 栅栏效应始终存在, 但可以增加抽样个数 N 来抑制栅栏效应。对于混叠现象, 在进行时域取样的过程中, 若信号不满足带限的条件, 或取样频率不满足采样定理, 即会产生混叠。对于非带限信号, 需要对信号进行滤波处理, 从而减轻混叠产生的偏差。此外, 若在加窗处理时进行了非周期阶段等操作导致时域信号存在跳变, 则得到的频谱可能会存在高频分量, 从而导致混叠和频谱泄漏。

七、总结

此次实验使用了 DFT 对信号谱进行了分析, 复习并掌握了频域混叠、频谱泄漏等概念, 区分了高密度谱和高分辨率谱之间的区别, 理解了抽样间隔、截断长度对频谱的影响。